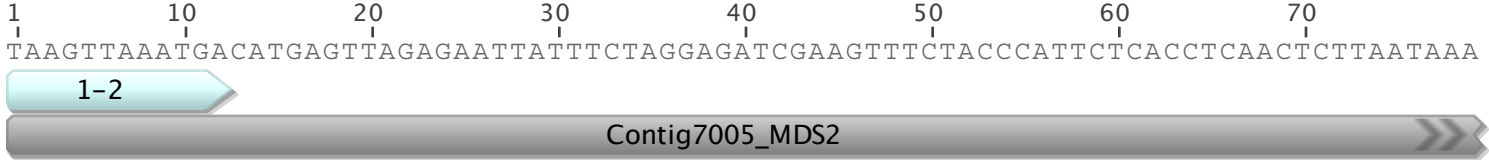


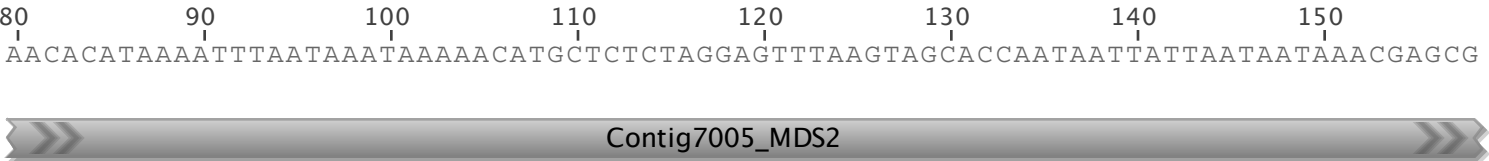
1. MIC 7005



- 2. Fig4_Lane2
- 3. FigS2_Lane11_01
- 4. FigS2_Lane11_02
- 5. FigS2_Lane11_03

CATGAGTTAGAGAATTATTTCTAGGAGATCGAAGTTTCTACCCATTCTCACCTCAACTCTTAATAAA

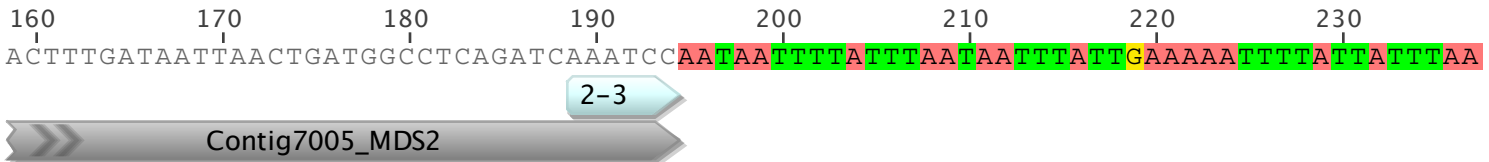
1. MIC 7005



- 2. Fig4_Lane2
- 3. FigS2_Lane11_01
- 4. FigS2_Lane11_02
- 5. FigS2_Lane11_03

AACACATAAAATTTAATAAATAAAAAACATGCTCTCTAGGAGTTTAAGTAGCACCAATAATTATTAATAATAAACGAGCG

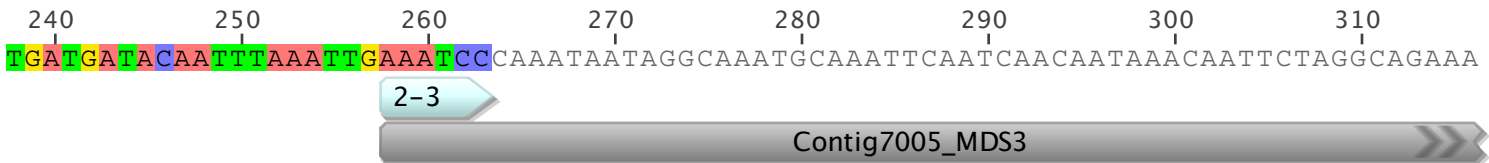
1. MIC 7005



- 2. Fig4_Lane2
- 3. FigS2_Lane11_01
- 4. FigS2_Lane11_02
- 5. FigS2_Lane11_03

ACTTTGATAATTAACTGATGGCCTCAGATCAAATCC-----

1. MIC 7005



- 2. Fig4_Lane2
- 3. FigS2_Lane11_01
- 4. FigS2_Lane11_02
- 5. FigS2_Lane11_03

-----CAAATAATAGGCAAATGCAAATTCAATCAACAATAAACAATTCTAGGCAGAAA

1. MIC 7005

320 330 340 350 360 370 380 390
TTAAATAGTAATAATAATATGAATATAATTGAAGAAAATATCGAAATTAATGGACCAAATACTTATATTGCTAAAGGGG



- 2. Fig4_Lane2
- 3. FigS2_Lane11_01
- 4. FigS2_Lane11_02
- 5. FigS2_Lane11_03

TTAAATAGTAATAATAATATGAATATAATTGAAGAAAATATCGAAATTAATGGACCAAATACTTATATTGCTAAAGGGG

1. MIC 7005

400 410 420 430 440 450 460 470
AAGAAACCACAAGTGGACCTGTACATAAAACATATATGATTAAAAAATAAAGAATTTTATTGATCATTAAATTTAAGGA



- 2. Fig4_Lane2
- 3. FigS2_Lane11_01
- 4. FigS2_Lane11_02
- 5. FigS2_Lane11_03

AAGAAACCACAAGTGGACCTGTACATAAAACAT-----

1. MIC 7005

480 490 500 510 520 530 540 550
TATATACATAAATTGTATAATAAACATGGACATTGGAATATTTGAAAAATAAGCGACATAATTAAGACAGACTGAATGAT



- 2. Fig4_Lane2
- 3. FigS2_Lane11_01
- 4. FigS2_Lane11_02
- 5. FigS2_Lane11_03

-----GGACATTGGATATTTGAAAAATAAGCGACATAATTAANACAGACTGAATGAT

1. MIC 7005

560 570 580 590 600 610 620 630
TCCCCAGTTCGTGATCGTTACGAATAACTCTATGATGACCAGATTATCATGAATAAGTAGAAGCGTGGATAGGCCAAAT



- 2. Fig4_Lane2
- 3. FigS2_Lane11_01
- 4. FigS2_Lane11_02
- 5. FigS2_Lane11_03

TCCCCAGTTCGTGATCGTTACGAATAACTCTATGATGACCAGATNATCATG-ATAAGTAGAAGCGTGNNNNNNNNNNNN

640 650 660 670 680 690 700 710
ATGACATGGAGAGTAAAATACA - CATAGATTAAGTTTATAAACAAAGATAAAACCGAACTTGCTAAATGTAGGAGAAAAT



5. FigS2_Lane11_03

720 730 740 750 760 770 780 790
TTTACAAATTATTTTTTAATGATTTATTTAGTGAAGAGGGGAAACAAAGCTTGAGTAAAACGAGAGAAACAACAAAT



5. FigS2_Lane11_03

800 810 820 830 840 850 860
TTGACATACTTAATTGGAGTTCTAAAAATATTGATCTCTCTAAAACTGAAGACAAACCTA TAAAAAATGTTTATATAATTT



5. FigS2_Lane11_03

870 880 890 900 910 920 930 940
 TGAGAAATGTTGTCAAATTCATGTTATTTTATATAGTCTGTGGTAAATATTTTAAAGTTATATCCCAAGACCCCTTATCACT



5. FigS2_Lane11_03

1. MIC 7005

950 960 970 980 990 1,000 1,010 1,020
ATC TTCAAACGACTGTCTTTCCAATCTTAACTTAAATTCAATCTTTGAGGACATCC CTTAACAAG CCTATTTATTCT



- 2. Fig4_Lane2
- 3. FigS2_Lane11_01
- 4. FigS2_Lane11_02
- 5. FigS2_Lane11_03

AT - TTCAAACGACTGTCTTTCCAATCTTAACTTAAATTCAATCTTTGAGGACATCC TTTAACA - CCTATTTATTCT

1. MIC 7005

1,030 1,040 1,050 1,060 1,070 1,080 1,090 1,100
TATGCAATCCCAAACCTCCACAGATGCTTGTGATAAATGAGCCTCAATAAATTTACAATGATTAGCATAAATTGATAA



- 2. Fig4_Lane2
- 3. FigS2_Lane11_01
- 4. FigS2_Lane11_02
- 5. FigS2_Lane11_03

TATGCAATCCCAAACCTCCACAGATGCTTGTGATAAATGAGCCTCAATAAATTTACAATGATTAGCATAAATTGATAA
CCCAAACCTCCACAGATGCTTGTGATAAATGAGCCTCAATAAATTTACAATGATTAGCATAAATTGATAA
CCCAAACCTCCACAGATGCTTGTGATAAATGAGCCTCAATAAATTTACAATGATTAGCATAAATTGATAA
CCNAACCTCCAC CGATGCTTGTGATAAATGAGCCTCAAT CAATTTACAATGATTAGCATAAATTGATAA

1. MIC 7005

1,110 1,120 1,130 1,140 1,150 1,160 1,170 1,180
ATAAAAAAC GGGGGGAGGAAGTTTCTGGACTGGTTTATGATGAATAAAAAATTTTAGGGAGTTTCTGCACTTTTTTTT



- 2. Fig4_Lane2
- 3. FigS2_Lane11_01
- 4. FigS2_Lane11_02
- 5. FigS2_Lane11_03

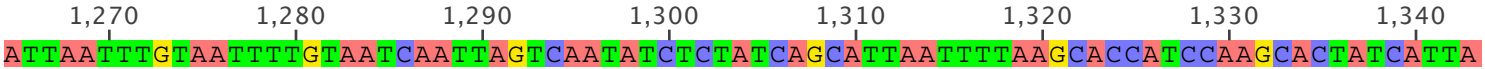
ATAAAAAAC -----
ATAAAAAAC -----
ATAAAAAAC -----
ATAAAAAAC -----

1. MIC 7005

1,190 1,200 1,210 1,220 1,230 1,240 1,250 1,260
ATTTTAAATTTTAAATTAATCTTTTAAACACCTATCAACCAACTTTCTAAAAATATTTCAATTGTTACAATTATA

- 2. Fig4_Lane2
- 3. FigS2_Lane11_01
- 4. FigS2_Lane11_02
- 5. FigS2_Lane11_03

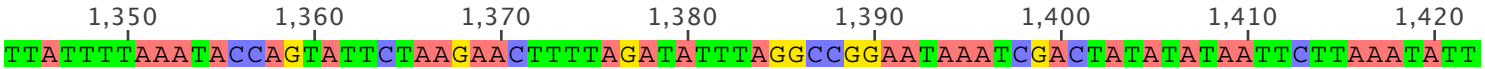
1. MIC 7005



2. Fig4_Lane2
3. FigS2_Lane11_01
4. FigS2_Lane11_02
5. FigS2_Lane11_03



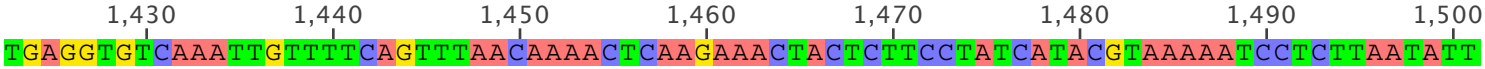
1. MIC 7005



2. Fig4_Lane2
3. FigS2_Lane11_01
4. FigS2_Lane11_02
5. FigS2_Lane11_03



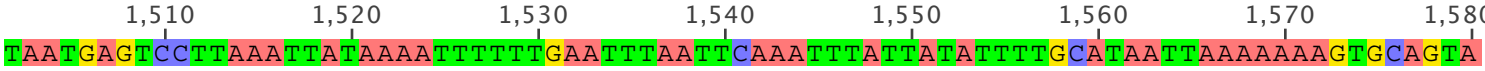
1. MIC 7005



2. Fig4_Lane2
3. FigS2_Lane11_01
4. FigS2_Lane11_02
5. FigS2_Lane11_03



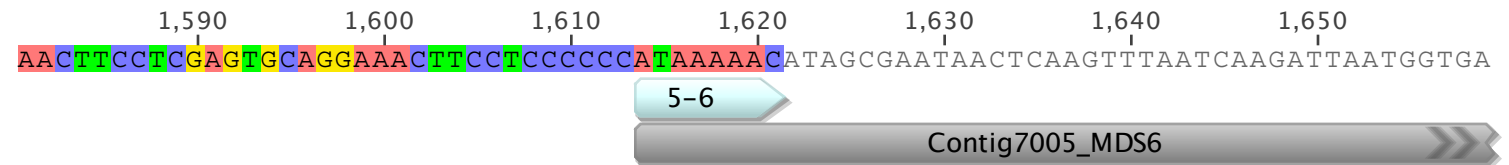
1. MIC 7005



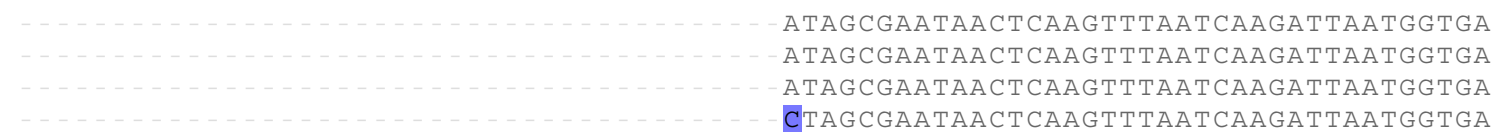
2. Fig4_Lane2
3. FigS2_Lane11_01
4. FigS2_Lane11_02
5. FigS2_Lane11_03



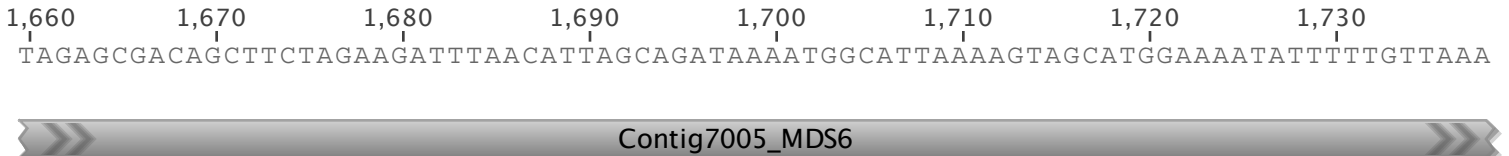
1. MIC 7005



- 2. Fig4_Lane2
- 3. FigS2_Lane11_01
- 4. FigS2_Lane11_02
- 5. FigS2_Lane11_03



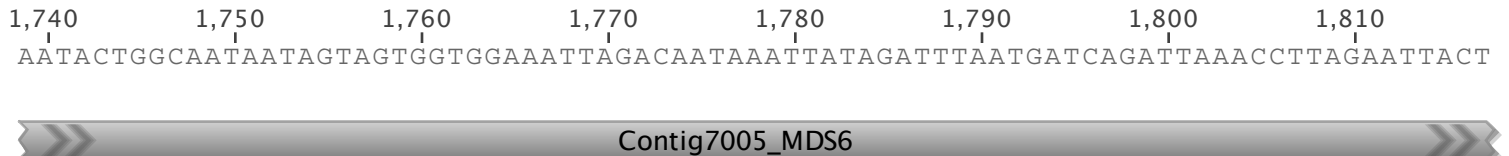
1. MIC 7005



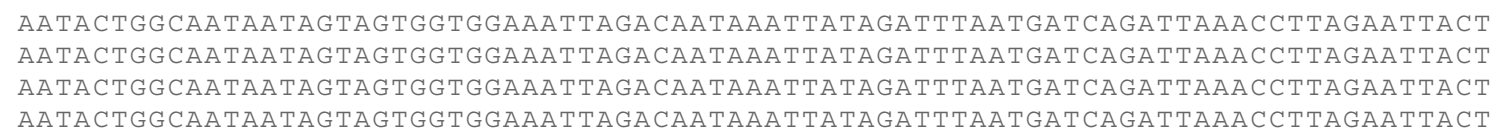
- 2. Fig4_Lane2
- 3. FigS2_Lane11_01
- 4. FigS2_Lane11_02
- 5. FigS2_Lane11_03



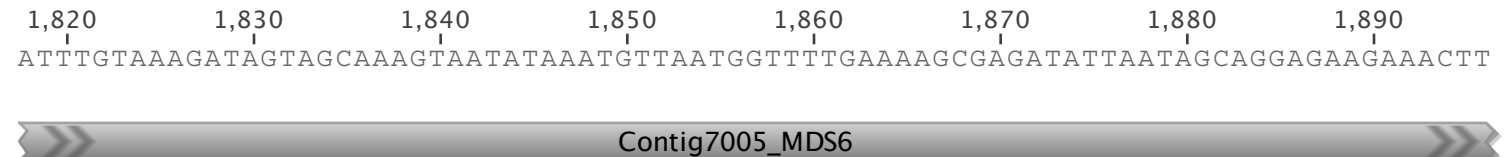
1. MIC 7005



- 2. Fig4_Lane2
- 3. FigS2_Lane11_01
- 4. FigS2_Lane11_02
- 5. FigS2_Lane11_03



1. MIC 7005



- 2. Fig4_Lane2
- 3. FigS2_Lane11_01
- 4. FigS2_Lane11_02
- 5. FigS2_Lane11_03



1. MIC 7005

1,900 1,910 1,920 1,930 1,940 1,950 1,960 1,970
CAATATTTTAGTTTGATTTAACGATATAAGATTTTTTATTTTCTTAATTAAATTTTAATTCTAATTGTCTAATTGTGAC

7005 inj 27nt RNA

Contig7005_MDS6

2. Fig4_Lane2

3. FigS2_Lane11_01

4. FigS2_Lane11_02

5. FigS2_Lane11_03

CAATATTTTAGTTTGATTTAACGATATAAGATTTTTTATTTTCTTAATTAAATTTTAATTCTAATTGTCTAATTGTGAC
CAATATTTTAGTTTGATTTAACGATATAAGATTTTTTATTTTCTTAATTAAATTTTAATTCTAATTGTCTAATTGTGAC
CAATATTTTAGTTTGATTTAACGATATAAGATTTTTTATTTTCTTAATTAAATTTTAATTCTAATTGTCTAATTGTGAC
CAATATTTTAGTTTGATTTAACGATATAAGATTTTTTATTTTCTTAATTAAATTTTAATTCTAATTGTCTAATTGTGAC

1. MIC 7005

1,980 1,990 2,000 2,010 2,020 2,030 2,040 2,050
TTTGAATATAAATTAAATAAGCAATTTAAAAAAGATAAGAAAAATAATTAAATCCTATATAAACTTAATAACTTT

7005 inj 27nt RNA

Contig7005_MDS1

2. Fig4_Lane2

3. FigS2_Lane11_01

4. FigS2_Lane11_02

5. FigS2_Lane11_03

TTTGAATATAAATTAAATAAGCAATTTAAAAAAGATAAGAAAAATAATTAAATCCTATATAAACTTAATAACTTT
TTTGAATATAAATTAAATAAGCAATTTAAAAAAGATAAGAAAAATAATTAAATCCTATATAAACTTAATAACTTT
TTTGAATATAAATTAAATAAGCAATTTAAAAAAGATAAGAAAAATAATTAAATCCTATATAAACTTAATAACTTT
TTTGAATATAAATTAAATANN CNNTTTAAAAAAGATAAGAAAAATAATTAAATCCTATATAAACTTAATAACTTT

1. MIC 7005

2,060 2,070 2,080 2,090 2,100 2,110 2,120 2,130
AATAAAATGTCTTAATTTTCAATGAAACCTCCACTACATTCATAATCTCAATAGCAGGCTTAAATTAATAACCTTCAA

Contig7005_MDS1

2. Fig4_Lane2

3. FigS2_Lane11_01

4. FigS2_Lane11_02

5. FigS2_Lane11_03

AATAAAATGTCTTAATTTTCAATGAAACCTCCACTACATTCATAATCTCAATAGCAGGCTTAAATTAATAACCTTCAA
AATAAAATGTCTTAATTTTNNNTGAAACCTCCACTACATTCATAATCTCAATAGCAGGCTTAAATTAATAACCTTCAA
AATAAAATGTCTTAATTTNNNNNNAACCTCCACTACATTCATAATCTCAATAGCAGGCTTAAATTAATAACCTTCAA
AATAAAATGTCTTAATTTTCAATGANNNNNNCACTACATTCATAATCTCAATAGCAGGCTTAAATTAATAACCTTCAA

1. MIC 7005

2,140 2,150 2,160 2,170 2,180 2,190 2,200 2,210
GCTCTTATTTCTCCAATTTCTAAAAATTCAAAATTCAAAGCAAATTTTATAGTAAACACTTCTCAATAATAAGTTTT

Contig7005_MDS1

2. Fig4_Lane2

3. FigS2_Lane11_01

4. FigS2_Lane11_02

5. FigS2_Lane11_03

GCTCTTATTTCTCCAATTTCTAAAAATTCAAAATTCAAAGCAAATTTTATAGTAAACACTTCTCAATAATAAGTTTT
GCTCTTATTTCTCCAATTTCTAAAAATTCAAAATTCAAAGCAAATTTTATAGTAAACACTTCTCAATAATAAGTTTT
GCTCTTATTTCTCCAATTTCTAAAAATTCAAAATTCAAAGCAAATTTTATAGTAAACACTTCTCAATAATAAGTTTT
GCTCTTATTTCTCCAATTTCTAAAAATTCAAAATTCAAAGCAAATTTTATANNNNNAACACTTCTCNATAATAAGTTTT

1. MIC 7005

2,220 2,230 2,240 2,250 2,260 2,270 2,280 2,290
AACTAACAATGAAATTTTCATCTAGAAATATTGAGTAACAACCATTCCATGTAAAACAGCAGAACTCTTTAAGTATAACT

Contig7005_MDS1

- 2. Fig4_Lane2
- 3. FigS2_Lane11_01
- 4. FigS2_Lane11_02
- 5. FigS2_Lane11_03

AACTAACAATGAAATTTTCATCTAGAAATATTGAGTAACAACCATTCCATGTAAAACAGCAGAACTCTTTAAGTATAACT
AACTAACAATGAAATTTTCATCTAGAAATATTGAGTAACAACCATTCCATGTAAAACAGCAGAACTCTTTAAGTATAACT
AACTAACAATGAAATTTTCATCTAGAAATATTGAGTACAACCATTCCATGTAAAACAGCAGAACTCTTTAAGTATNACT
AACTAACAATGAAATTTTCATCTAGAAATATTGAGTAACAACCATTCCNTGTAAAACAGCAGAACTCTTTAAGTATAACT

1. MIC 7005

2,300 2,310 2,320 2,330 2,340 2,350 2,360 2,370
ACAAAACACTTGAATCCCCTCTCAAACCTTACTTTGAAGCAAAACCCGAAAAATAAACGACCCTATAATCCAAGATT

7005-R 7005-F

Contig7005_MDS1

- 2. Fig4_Lane2
- 3. FigS2_Lane11_01
- 4. FigS2_Lane11_02
- 5. FigS2_Lane11_03

ACAAAACACTTGAATCCCCTCTCAAACCTTACTTTGAAGCAAAACCC-----CGACCCTATAATCCAAGATT
ACAAAACACTTGAATCCCCTCTCAAACCTTACTTTGAAGCAAAACCC
NNAAAACNNTTGAATCCCCTNNNNAACCTTACTTTGAAGCAAAACCC
ACAAAACACTTGAATCCCCTCTCAAACCTTACTTTGAAGCAAAACCC

1. MIC 7005

2,380 2,390 2,400 2,410 2,420 2,430 2,440
TCAAATCCTATGAGAATTAATCGCATTTTCAGCAATTCAAACACATCGATAGCAAAAGCTACACTAGTTTGGATTAATA

Contig7005_MDS1

- 2. Fig4_Lane2
- 3. FigS2_Lane11_01
- 4. FigS2_Lane11_02
- 5. FigS2_Lane11_03

TCAAATCCTATGAGAATTAATCGCATTTTCAGCAATTCAAACACATCGATAGCAAAAGCTACACTAGTTTGGATTAATA

1. MIC 7005

2,450 2,460 2,470 2,480 2,490 2,500 2,510 2,520
TCAAAATTACAATTAGAGTGATAAAAAATCAAATTTTATAGAATTTGAGTCATGGGAATAAGCGAGTTGCTTTGTTAAAG

Contig7005_MDS1

- 2. Fig4_Lane2
- 3. FigS2_Lane11_01
- 4. FigS2_Lane11_02
- 5. FigS2_Lane11_03

TCAAAATTACAATTAGAGTGATAAAAAATCAAATTTTATAGAATTTGAGTCATGGGAATAAGCGAGTTGCTTTGTTAAAG

1. MIC 7005

2,530 2,540 2,550 2,560 2,570 2,580 2,590 2,600
AAATAGCTTGTCGACGAGTATAATTTATAAGAATATGGTAGTTACAGCTAAAATATTACTGGTCGAGGCGGTAGTAAAA

Contig7005_MDS1

2. Fig4_Lane2

AAATAGCTTGTCGACGAGTATAATTTATAAGAATATGGTAGTTACAGCTAAAATATTACTGGTCGAGGCGGTAGTAAAA

3. FigS2_Lane11_01

4. FigS2_Lane11_02

5. FigS2_Lane11_03

1. MIC 7005

2,610 2,620 2,630 2,640 2,650 2,660 2,670 2,680
GCGATTTAAAGTCAAATTATGGTAAATCACTTGCTAATGCCTAAAGTGTTGATAGAATAAAAAATTAATGCTCAAGGTAA

Contig7005_MDS1

2. Fig4_Lane2

GCGATTTAAAGTCAAATTATGGTAAATCACTTGCTAATGCCTAAAGTGTTGATAGAATAAAAAATTAATGCTCAAGGTAA

3. FigS2_Lane11_01

4. FigS2_Lane11_02

5. FigS2_Lane11_03

1. MIC 7005

2,690 2,700 2,710 2,720 2,730 2,740 2,750 2,760
TGGATTGGGTACAGAAATATAGTAGTCATCTTTTAGAATAGTGGTAGAGAAACTGTTATAGATTTATTTGGGTTAGAA

Contig7005_MDS1

2. Fig4_Lane2

TGGATTGGGTACAGAAATATAGTAGTCATCTTTTAGAATAGTGGTAGAGAAACTGTTATAGATTTATTTGGGTTAGAA

3. FigS2_Lane11_01

4. FigS2_Lane11_02

5. FigS2_Lane11_03

1. MIC 7005

2,770 2,780 2,790 2,800 2,810 2,820 2,830 2,840
GCTCAATAGTAAAACAGAAGAAACAAAATTATTATCAGAAAAGCTAAGGAATCGTTAGCTGGTTACGATATCATAAATG

Contig7005_MDS1

2. Fig4_Lane2

GCTCAATAGTAAAACAGAAGAAACAAAATTATTATCAGAAAAGCTAAGGAATCGTTAGCTGGTTACGATATCATAAATG

3. FigS2_Lane11_01

4. FigS2_Lane11_02

5. FigS2_Lane11_03

1. MIC 7005



2. Fig4_Lane2

3. FigS2_Lane11_01

4. FigS2_Lane11_02

5. FigS2_Lane11_03

GTGTCTCTAAGTTAAATGA